

III-16 被圧地下水における水頭と浸透流量の時間的变化

京都大学工学部 正員 宇野 尚雄
同 大学院 学生員。西村 伊人夫

(まえがき)

地下水が被圧されているか、また自由水面を有しているかにより、滲水層外水位変動の影響を受ける様相に著しく異なる。すなはち満水層の水頭変化は前者では外水位変化に敏感に応じるが、後者では自由水面の変化を待つて始めて水頭の変化が可能となるので、ゆっくりしている。それゆえ地下水が被圧されているときと、部分的に自由水面が生じているときの満水層の水頭変化と流量変化について実験と解析結果を比較しながら報告する。

被圧地下水と不圧地下水の挙動の特徴をえるため、室内鋼製水路内に厚さ15cmの砂をうたる満水層とその上に粘土層数cmを造り、その上大荷重をのせて被圧状態を設けた。(原1参照)水路の長さ315cm、巾23cmであり、使用した砂の有効径0.8mm均等係数2である。実験の外水位を満水層上にくるようにして、水圧面が満水層に来ない範囲で変動させて生ずる被圧地下水の実験と水圧面が低下して満水層外自由水面をもつようになる被圧と不圧の過渡領域の実験である。

(被圧地下水、不圧地下水の横井の解析)

流れが一方向Kのせ流れる横井に対する被圧水の基礎式は

$$\frac{\partial h}{\partial t} = \left(\frac{k}{\alpha} \right) \frac{\partial^2 h}{\partial x^2} \quad (1)$$

$h(x,t)$ における水頭 k : 透水係数 α : 圧縮率

初期および境界条件: $h(x,0) = 0$, $h(0,t) = H$, $h(l,t) = 0$

による式(1)の解は $\frac{h(x,t)}{H} = \sum_{n=1}^{\infty} \left[\operatorname{erfc} \left(\frac{2n + 3/4}{2\sqrt{T}} \right) - \operatorname{erfc} \left(\frac{2(n+1) - 3/4}{2\sqrt{T}} \right) \right], T = \frac{kt}{\alpha x^2}$ (2)

これはTの小さい値に対する評価で、Tの大い値に対する評価は

$$\frac{h(x,t)}{H} = \left[1 - \frac{x}{l} \right] - \frac{2}{\pi} \sum_{n=1}^{\infty} \left[\frac{1}{n} e^{-\frac{n^2 \pi^2 T}{l^2}} \sin \left(\frac{n \pi x}{l} \right) \right] \quad (3)$$

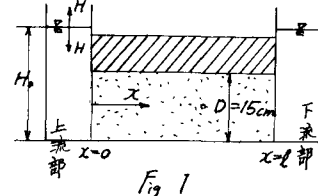
式(2)と式(3)の差は小さいが、これらをxで偏微分して得られる流量変化は、Tが大きい場合が適切で次式で表わされる。 $\frac{q(x,t)}{k\alpha H} = 1 + 2 \sum_{n=1}^{\infty} e^{-\frac{n^2 \pi^2 T}{l^2}} \cos \left(\frac{n \pi x}{l} \right)$ (4)

(a; 水路層の断面積) 自由水面が満水層中に生じてくると、それが満水層厚さに較べて小さい場合、式(1)の k/α の代りに k/α_a を式(1)に使用すればいい。被圧面下まで水位低下した境界からxの距離だけ自由水面が生じたとすると、その過渡領域での水面形は次式で与えられる。

$$\frac{h(x,t)}{H} = \frac{D - H_0}{H} + \frac{H + H_0 - D}{H} \sum_{n=1}^{\infty} \left[\operatorname{erfc} \left(\frac{2n + 3/4}{2\sqrt{T_1}} \right) - \operatorname{erfc} \left(\frac{2(n+1) - 3/4}{2\sqrt{T_1}} \right) \right], T_1 = \frac{kDl}{\rho x_f^2} \quad (5)$$

(実験結果と考察)

Fig.2は完全に被圧の場合の水頭変化である。実線は式(2)の理論曲線で $k/\alpha = 130 \text{ cm/sec}$ としたものである。理論値と実験値との間にかなりの食い違ひがみられ、Hが小さい程水頭変化



が早いが、これに初期における流速 $\frac{dH}{dt}$ の大小により影響されると大きいため、 $\frac{dH}{dt}$ を整理すると H が小さい程、初期の $\frac{dH}{dt}$ の値が大きくなると考えられる。また H が大きいほど、水頭変化が早いことは、被圧度合が大きいため、外水位の変化が大した消散なく早く伝播するからであろう。つきに地下水水頭部的に被圧され、部分的に不圧の場合の実験結果が図3、図4に示されている。図3では図2の完全に被圧された地下木の場合よりモーメント曲線、式(2)によく合っている。これに偶然で、 $H_0 = 10\text{cm}$ と被圧面 $D = 15\text{cm}$ の両の毛管帶に沿り引き揚げられた水と空気の不飽和帯が、被圧のときのような急激な水頭上昇を緩和させた動きをしていると考えられる。また $H_0 = 5\text{cm}$ の場合はかなり大きな凹みがあり、水頭変化はゆるやかで空気を押し出していく自由水面をも、浸透流の特性を示している。図4では $H_0 = 20\text{cm}$ の初期水位から $H = -15\text{cm}$ と変化をうえたときの水頭変化が興味深い。 $\frac{dH}{dt} = 1.333$ に行き、からには自由水面をもつ流れとなるので、変化が変ってころに付であるか、実際にそれより若干下、た所から曲線は折れて緩い変化となる。式(5)をこの部分について計算したのが実線である。つきに流量変化が図5に示されている。水頭変化の記録から定数 $k_0 = 1.30 \times 10^3 \text{ cm}^3/\text{sec}$ で、このときの理論曲線が実線で示されている。過渡領域へ入ると、その変化は大きくなり、水頭変化が被圧の場合にくらべて遅くなることを表付けている。観測流量と理論値とはかなりよくあわせられるが、それは溝底終端から流量計までの測定系の遅れによるもので、この間の修正を行うと良好な結果を得るようである。

[結論] 一次元流としての被圧地下水の水頭変化と流量変化は、それそれ式(2) or (3)と式(4)で表められる。しかし被圧の場合はダルシニ則の適用限界が、不圧の場合にも管帶の無視や水頭変化の微小仮定が問題となる、十分に実験値に一致したとはいえない。

終りに御教導下さった東京大学教授に謹んで謝意を表します。

